

**UNIVERSIDADE FEDERAL DE MINAS GERAIS
ESCOLA DE ENGENHARIA
PROGRAMA DE PÓS-GRADUAÇÃO EM ENGENHARIA ELÉTRICA**

**REDES NEURAIS ARTIFICIAIS
ATIVIDADES 1,2 e 3
Problema Não-Linearmente Separável, Overfitting /
Underfitting e Aproximação Polinomial**

Aluna: Priscila Aparecida Dias Nicácio

Professores: Prof. Antônio Braga e Prof. Frederico Gualberto.

Belo Horizonte, Agosto de 2025

SUMÁRIO

1.	INTRODUÇÃO.....	3
2.	FUNDAMENTAÇÃO TEÓRICA.....	3
3.	RESOLUÇÃO DA ATIVIDADE 1	5
3.1	CÓDIGO IMPLEMENTADO	6
3.2	ANÁLISE DOS RESULTADOS	7
4.	RESOLUÇÃO DA ATIVIDADE 2.....	8
4.1	QUESTÃO 1A.....	9
4.2	QUESTÃO 1B	9
4.3	QUESTÃO 1C	9
4.4	QUESTÃO 1D.....	10
5.	RESOLUÇÃO DA ATIVIDADE 3.....	12
5.1	CÓDIGO IMPLEMENTADO PARA 20 AMOSTRAS.....	14
5.2	RESULTADOS	16
5.3	CÓDIGO IMPLEMENTADO PARA 100 AMOSTRAS	19
5.4	RESULTADOS.....	19
6.	CONCLUSÃO.....	19
7.	REFERÊNCIAS	21

1. INTRODUÇÃO

A classificação de padrões e a aproximação de funções são problemas centrais em aprendizado de máquina e modelagem matemática. Em muitos casos, os dados não são linearmente separáveis, não é possível traçar uma linha reta (ou hiperplano em dimensões superiores) que separe perfeitamente as classes. Problemas não-linearmente separáveis exigem técnicas que transformem os dados em um espaço no qual se tornem linearmente separáveis (BISHOP, 2006; HASTIE; TIBSHIRANI; FRIEDMAN, 2009; DUDA; HART; STORK, 2001). Neste estudo, há dois casos complementares: Classificação não-linearmente separável: pontos distribuídos em um padrão circular, com uma classe localizada dentro do círculo (classe 0) e outra fora dele (classe 1). Aplicou-se projeção não-linear baseada na distância ao centro, $z = \sqrt{x^2 + y^2}$, transformando o problema original em um problema linearmente separável em uma dimensão, permitindo o uso de métodos lineares de classificação.

Em problemas de regressão, o objetivo principal é construir modelos que descrevam a relação entre variáveis de entrada e saída, permitindo não apenas explicar os dados observados, mas também realizar previsões sobre novos cenários. No entanto, a qualidade desse processo depende da escolha adequada da complexidade do modelo, que influencia diretamente sua capacidade de generalização (BISHOP, 2006; HASTIE; TIBSHIRANI; FRIEDMAN, 2009).

Na aproximação polinomial houve a modelagem de uma função geradora $f_g(x)$ a partir de amostras $D = \{(x_i, y_i)\}_{i=1}^N$. Um polinômio de grau p é representado por: $p(x) = w_p x^p + w_{p-1} x^{p-1} + \dots + w_1 x + w_0$ onde x é a variável de entrada e w_1 os coeficientes do polinômio.

O objetivo é determinar w_1 de forma que $p(x) \approx y_i$ para todos os pontos de D , minimizando o erro quadrático: $E(\omega) = \sum_{i=1}^N (y_i - p(x_i))^2$ ou, equivalentemente, resolvendo o sistema matricial: $H\omega = y$ onde H é a matriz de Vandermonde, ω o vetor de coeficientes e y o vetor de observações. A solução que minimiza o erro quadrático é obtida usando a pseudoinversa H^+ : $\omega = H^+ y$.

Apresentou-se o uso de projeção não-linear para linearizar um problema de classificação circular, bem como o ajuste polinomial de uma função quadrática com ruído gaussiano, variando o grau do polinômio de 1 a 8 e o número de amostras (20 e 100). Também foram analisados os fenômenos de underfitting e overfitting, relacionando-os ao grau do polinômio e à quantidade de dados.

2. FUNDAMENTAÇÃO TEÓRICA

Os classificadores lineares, como regressão logística ou perceptrons, funcionam bem quando os dados podem ser separados por uma linha ou hiperplano. Quando as classes apresentam

distribuições complexas, a separação linear direta não é possível, exigindo transformações não-lineares. Para o problema circular, aplicamos a função: $z = \sqrt{x^2 + y^2}$ que mede a distância de cada ponto ao centro do círculo. Esta transformação projeta os dados em um espaço 1D, permitindo que a separação entre classes seja realizada por um simples limiar. Técnicas como o kernel trick em SVMs utilizam o mesmo princípio, projetando dados em espaços de maior dimensão para torná-los linearmente separáveis. A aplicação de funções não-lineares simples, como a distância ao centro de um círculo, permite que problemas complexos se tornem lineares (SCHÖLKOPF; SMOLA, 2002). A projeção não-linear evidencia claramente a separação das classes, demonstrando como funções simples podem resolver problemas complexos.

A escolha da complexidade do modelo envolve o equilíbrio entre underfitting e overfitting. O underfitting ocorre quando o modelo é simples demais, incapaz de representar a estrutura real dos dados, resultando em alto erro tanto no conjunto de treinamento quanto em novos dados. Um exemplo típico é o uso de modelos lineares para tentar ajustar funções não lineares (HASTIE; TIBSHIRANI; FRIEDMAN, 2009; MONTGOMERY; PECK; VINING, 2012). O overfitting, por outro lado, ocorre quando o modelo é excessivamente complexo, ajustando-se inclusive ao ruído presente nos dados de treinamento. Isso leva a um baixo erro de treinamento, mas piora o desempenho em dados novos, pois o modelo não aprendeu o padrão real. O ponto ótimo situa-se em modelos intermediários, que capturam a tendência geral dos dados sem se prender a detalhes irrelevantes, garantindo melhor capacidade de generalização (KOHAVI; JOHN, 1997).

Para o ajuste polinomial, a matriz H (Matriz de Vandermonde H) é construída com os termos x_i^j do polinômio até grau p, permitindo que o ajuste linear via mínimos quadrados encontre os coeficientes que melhor aproximam a função geradora. A solução usando a pseudoinversa H^+ fornece a minimização do erro quadrático mesmo em sistemas sobredeterminados ou singulares (GOLUB; VAN LOAN, 2013; NOCEDAL; WRIGHT, 2006).

$$H = \begin{bmatrix} x_1^p & x_1^{p-1} & \cdots & x_1 & 1 \\ x_2^p & x_2^{p-1} & \cdots & x_2 & 1 \\ \vdots & \vdots & \ddots & \vdots & \vdots \\ x_N^p & x_N^{p-1} & \cdots & x_N & 1 \end{bmatrix}$$

Cada coluna representa uma dimensão do espaço polinomial, permitindo que o ajuste linear via mínimos quadrados encontre os coeficientes \mathcal{W} que melhor aproximam a função geradora. A pseudoinversa H^+ fornece a solução de mínimos quadrados mesmo quando o sistema é sobredeterminado ($N > p + 1$) ou singular: $\mathcal{W} = H^+y$ garantindo a minimização da soma dos erros quadráticos entre observações e previsões.

Underfitting ocorre quando o grau do polinômio é baixo, impedindo que ele capture a tendência da função. Overfitting ocorre quando o grau do polinômio é alto, fazendo-o seguir o ruído das amostras. A quantidade de amostras influencia diretamente esses fenômenos, sendo que mais pontos reduzem a sensibilidade ao ruído (HASTIE; TIBSHIRANI; FRIEDMAN, 2009; MONTGOMERY; PECK; VINING, 2012). Bom ajuste: polinômio que representa corretamente a função subjacente sem seguir o ruído. O número de amostras N influencia diretamente esses fenômenos: mais pontos reduzem a sensibilidade ao ruído, diminuindo o overfitting.

3. RESOLUÇÃO DA ATIVIDADE 1

A atividade consiste em entender e aplicar projeções não-lineares para transformar um problema de classificação não-linear em linearmente separável. Deve-se analisar um conjunto de pontos de duas classes (vermelha e preta) e escolher uma ou duas funções não-lineares (como funções radiais, circulares ou combinações de retas) que permitam separar claramente as duas classes. Em seguida, implementar essa projeção, gerar o gráfico da superfície de separação no espaço original e mostrar também os pontos projetados no novo espaço, destacando como a transformação torna o problema linearmente separável.

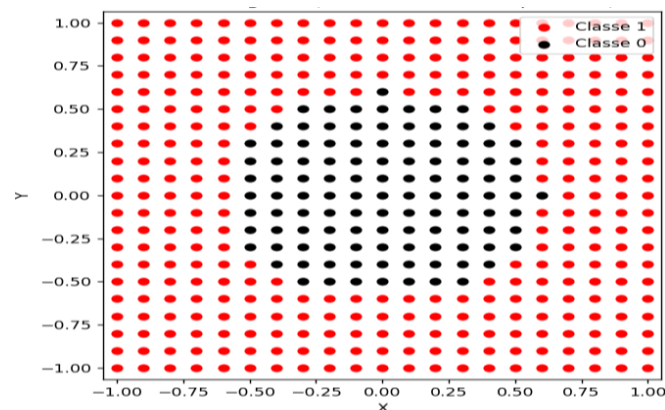


Figura 1 – Dados originais (não-linearmente separáveis), no espaço original os pontos em vermelho pertencem à classe positiva e pontos em preto pertencem à classe negativa.

```
x = seq(-1,1,by = 0.1)
y = seq(-1,1,by = 0.1)
create_grid <- expand.grid(x,y)

circle <- function(x,y) {
  return(sqrt(x^2+y^2))
}

raio = 0.6

classe = 1*(circle(create_grid$Var1,create_grid$Var2)>raio)
```

Figura 2 – Rotina que gerou os dados gerados em linguagem R.

Essa atividade contém um problema clássico de não-linearmente separável: os pontos pretos estão dentro de um círculo e os vermelhos fora. Para resolver, podemos criar uma projeção não-linear, por exemplo usando $z = \sqrt{x^2 + y^2}$, que transforma o problema circular em um problema linearmente separável em 1D.

3.1 CÓDIGO IMPLEMENTADO

```
import numpy as np
import matplotlib.pyplot as plt

# Criando os dados
x = np.arange(-1, 1.1, 0.1)
y = np.arange(-1, 1.1, 0.1)
X, Y = np.meshgrid(x, y)
X_flat = X.ravel()
Y_flat = Y.ravel()

# Função círculo
def circle(x, y):
    return np.sqrt(x**2 + y**2)

raio = 0.6
classe = np.where(circle(X_flat, Y_flat) > raio, 1, 0) # 1 = vermelho, 0 = preto

# Visualizando os dados originais
plt.figure(figsize=(6,6))
plt.scatter(X_flat[classe==1], Y_flat[classe==1], color='red', label='Classe 1')
plt.scatter(X_flat[classe==0], Y_flat[classe==0], color='black', label='Classe 0')
plt.xlabel('X')
plt.ylabel('Y')
plt.title('Dados originais (não-linearmente separáveis)')
plt.legend()
plt.axis('equal')
plt.show()

# Projeção não-linear
Z = circle(X_flat, Y_flat) # transf. os dados em 1D usando a distância ao centro
```

```
# Visualizando os dados projetados
plt.figure(figsize=(8,4))
plt.scatter(Z[classe==1], np.zeros_like(Z[classe==1]), color='red', label='Classe 1')
plt.scatter(Z[classe==0], np.zeros_like(Z[classe==0]), color='black', label='Classe 0')
plt.axvline(x=raio, color='blue', linestyle='--', label='Frente de separação linear')
plt.xlabel('z = sqrt(x^2 + y^2)')
plt.title('Dados projetados (linearmente separáveis)')
plt.legend()
plt.show()
```

O código implementa a separação de um problema não-linearmente separável através de uma projeção simples. Primeiro, é criado um grid bidimensional para x e y, sobre o qual se define a função circular $z = \sqrt{x^2 + y^2}$, que mede a distância dos pontos ao centro. A partir disso, pontos dentro do círculo ($z < 0.6$) são classificados como classe 0 (pretos) e os fora como classe 1 (vermelhos).

A transformação para o espaço unidimensional z torna o problema linearmente separável, já que a divisão das classes pode ser feita apenas com um limiar em $z = 0.6$. A visualização final mostra claramente a eficácia dessa projeção não-linear, revelando como uma fronteira circular no plano original se transforma em uma separação linear simples no espaço projetado.

3.2 ANÁLISE DOS RESULTADOS

O gráfico gerado mostra claramente a diferença entre os espaços antes e depois da projeção:

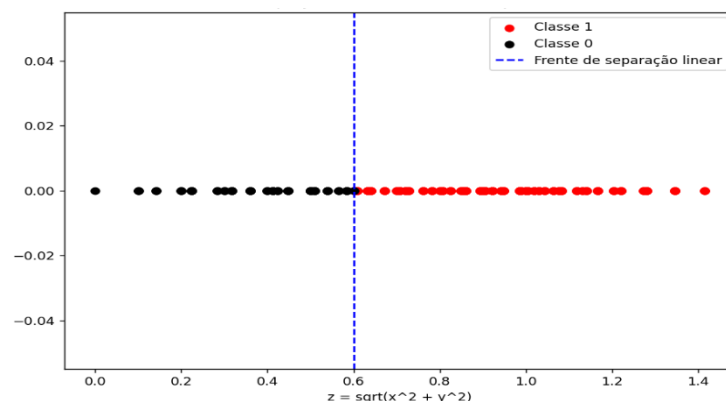


Figura 2 – Dados projetados (linearmente separáveis).

1. Espaço original (2D): os pontos da classe 0 (preto) estão agrupados no centro, enquanto os pontos da classe 1 (vermelho) estão distribuídos ao redor. Não existe uma linha reta que consiga separar as duas classes, caracterizando o problema como não-linearmente separável.

2. Espaço projetado (1D): após aplicar a projeção $z = \sqrt{x^2 + y^2}$, os dados foram transformados em uma dimensão, onde os pontos da classe 0 estão à esquerda do limiar $z = 0.6$ e os pontos da classe 1 estão à direita. Com isso, a separação linear se torna possível e visualmente evidente, demonstrando a eficácia da transformação.

Este resultado confirma que, para problemas com estrutura circular, a distância ao centro é uma característica discriminativa eficiente e pode ser utilizada para construir classificadores lineares simples, evitando complexidade desnecessária.

4. RESOLUÇÃO DA ATIVIDADE 2

A tarefa sobre overfitting e underfitting foca no entendimento de conceitos e a relação com a dimensão do modelo e erros de treinamento e teste (GOLUB; VAN LOAN, 2013).

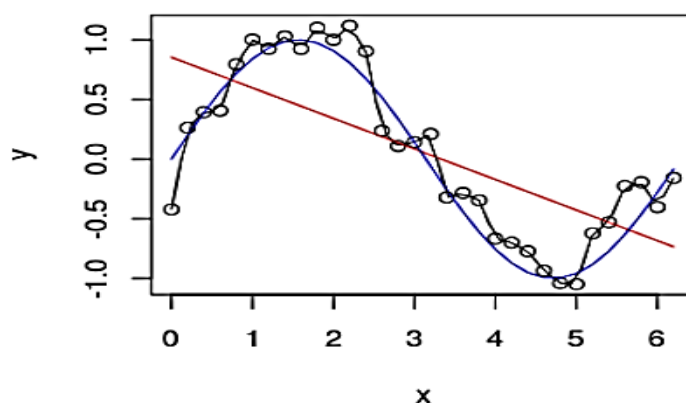


Figura 3: Ajuste de três modelos para um problema de regressão.

Desse modo, considerando-se a Figura 3, que apresenta os dados de treinamento para um problema de regressão, na imagem, tem-se que:

- Preto: pontos de dados (observações).
- Vermelho: modelo linear simples.
- Azul: modelo mais complexo, que “passa por quase todos os pontos”.

Na Tabela 1, abaixo há o resumo do que ocorre na figura 3.

Modelo	Treinamento	Teste/Novos Dados	Tipo de ajuste
Vermelho	Alto erro	Melhor que azul	Underfitting
Azul	Baixo erro	Pior que vermelho	Overfitting
Preto (pontos)	—	—	Dados reais

Tabela 1: Resumo do gráfico da figura 3 com o ajuste dos três modelos para o problema de regressão.

4.1 QUESTÃO 1A

Qual dos modelos parece melhor aproximação da função geradora, considerando ruído?

O modelo azul segue rigidamente cada ponto, é muito flexível, ajustando-se não só ao padrão real, mas também ao ruído. O modelo vermelho é muito simples, não captura a curvatura dos dados, caracterizando underfitting. Nenhum modelo é perfeito, mas o intermediário ideal - em que o azul exagera e o vermelho subestima - é aquele que segue a tendência geral dos dados sem se prender ao ruído. Logo, o modelo que captura a curva geral sem exagerar seria considerado a melhor aproximação da função geradora.

4.2 QUESTÃO 1B:

Qual apresenta menor erro de treinamento?

O modelo azul passa muito próximo de todos os pontos, então o erro de treinamento é mínimo (quase zero). O modelo vermelho possui erro maior, pois não consegue seguir a curva.

4.3 QUESTÃO 1C:

Qual deve ter melhor desempenho em dados novos?

- Vermelho: pode ser muito simples e perder padrões importantes (erro maior).
- Azul: ajusta demais ao ruído, tende a ter alto erro em novos dados (overfitting).

Um modelo intermediário teria melhor desempenho geral, mas entre os mostrados, o vermelho provavelmente generaliza melhor que o azul, embora ainda possa ser subótimo - conforme estudado na literatura (KOHAVI; JOHN, 1997).

4.4 QUESTÃO 1D:

Efeitos do dimensionamento do modelo e ajuste aos dados:

- Modelo simples (underfitting): não captura a complexidade da função (alto erro de treinamento e teste).
- Modelo complexo (overfitting): captura ruído (baixo erro de treinamento, mas alto erro em dados novos).

Erro de treinamento baixo não implica em bom desempenho a longo prazo: é ilusório se o modelo está se ajustando ao ruído, e não ao padrão real.

Regra prática: deve-se buscar modelo com complexidade equilibrada, pois captura a tendência dos dados sem memorizar ruído – conforme literatura (HASTIE; TIBSHIRANI; FRIEDMAN, 2009; MONTGOMERY; PECK; VINING, 2012).

5. RESOLUÇÃO DA ATIVIDADE 3

A tarefa de aproximação polinomial consiste em gerar polinômios que estimem uma função geradora a partir de um conjunto de amostras ruidosas. Deve-se criar conjuntos de dados com no mínimo 10 amostras e depois ampliar para 100 amostras da função $f(x) = 0.5x^2 + 3x + 10$ somada a ruído gaussiano, variando o grau do polinômio de 1 a 8. Para cada caso, é necessário calcular os coeficientes do polinômio usando a pseudoinversa da matriz de Vandermonde, plotar gráficos que mostrem a função original, as amostras e o polinômio ajustado, e analisar se ocorreu overfitting ou underfitting. Por fim, deve-se comparar como o número de amostras influencia a qualidade da aproximação.

5.1 CÓDIGO IMPLEMENTADO PARA 20 AMOSTRAS

```
import numpy as np
import matplotlib.pyplot as plt
# Configurações iniciais
np.random.seed(42) # para resultados reproduzíveis
```

```

N = 20 # número de amostras
x = np.linspace(-15, 10, N)
ruído = np.random.normal(0, 4, N) # ruído gaussiano (mean=0, sd=4)
y = 0.5*x**2 + 3*x + 10 + ruído # função geradora com ruído

# Para plotar suavemente os polinômios e função real
x_plot = np.linspace(-15, 10, 200)
y_real = 0.5*x_plot**2 + 3*x_plot + 10
# Ajuste polinomial
graus = range(1, 9) # polinômios do grau 1 ao 8

plt.figure(figsize=(20, 15))

for i, p in enumerate(graus, 1):
    # Ajuste polinomial
    coef = np.polyfit(x, y, p) # encontra os coeficientes w
    y_poly = np.polyval(coef, x_plot) # avalia o polinômio nos pontos para plot
    # Plotagem
    plt.subplot(3, 3, i)
    plt.scatter(x, y, color='red', label='Amostras')
    plt.plot(x_plot, y_real, color='black', label='Função geradora')
    plt.plot(x_plot, y_poly, color='blue', label=f'Polinômio grau {p}')
    # Anotação sobre underfitting/overfitting
    if p <= 2:
        nota = 'Underfitting'
    elif p >= 6:
        nota = 'Overfitting'
    else:
        nota = 'Bom ajuste'
    plt.title(f'Grau {p} - {nota}')
    plt.xlabel('x')
    plt.ylabel('y')
    plt.legend()
    plt.tight_layout()
    plt.show()
# Observações
print("Observações:")

```

```
print("- Underfitting ocorre para grau 1 e 2: polinômio não consegue capturar a curva quadrática.")
```

```
print("- Bom ajuste ocorre para grau 3 a 5: segue bem a tendência da função geradora.")
```

```
print("- Overfitting ocorre para grau 6 a 8: polinômio tenta passar exatamente por todos os pontos, capturando o ruído.")
```

5.2 RESULTADOS

Foram gerados os gráficos a seguir:

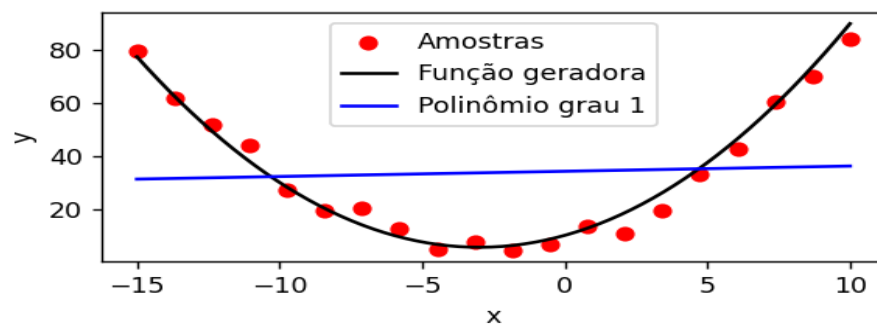


Figura 4 – Grau 1: Underfitting.

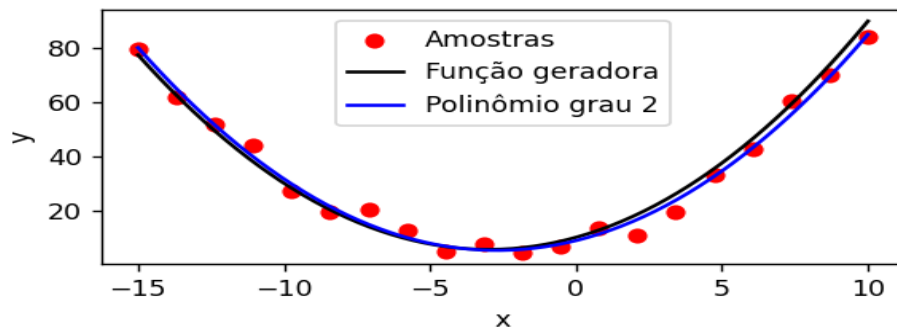


Figura 5 – Grau 2: Underfitting.

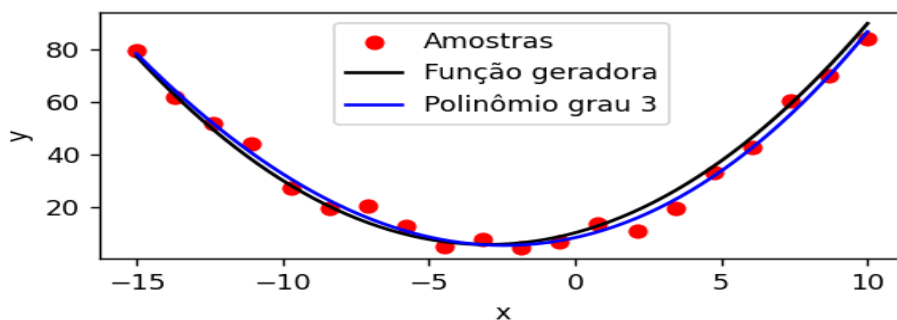


Figura 6 – Grau 3: Bom Ajuste.

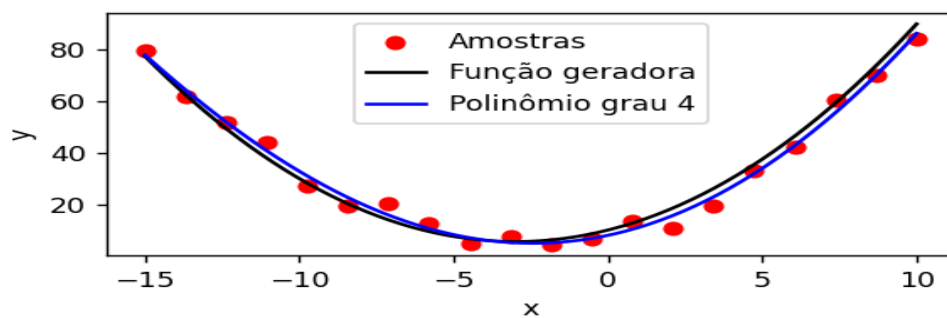


Figura 7 – Grau 4: Bom Ajuste.

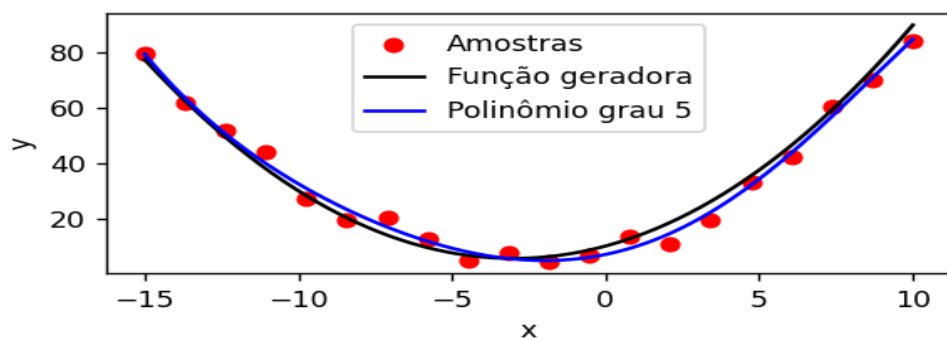


Figura 8 – Grau 5: Bom Ajuste.

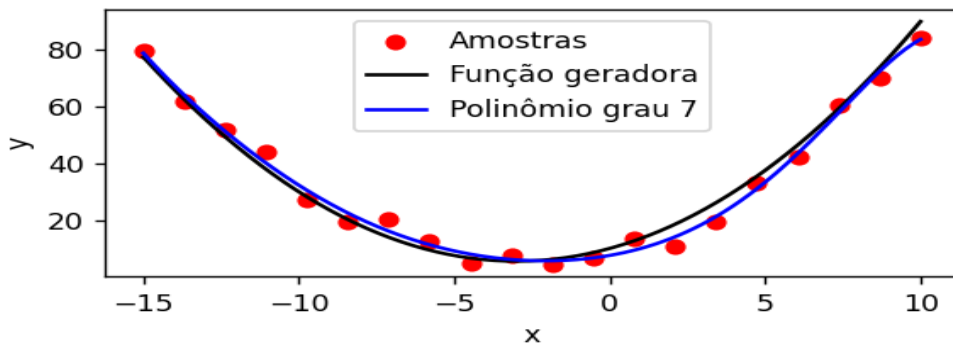


Figura 9 – Grau 6: Overfitting.

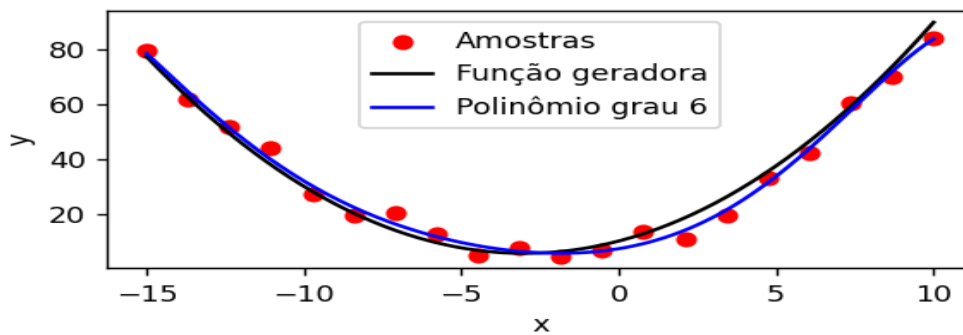


Figura 10 – Grau 7: Overfitting.

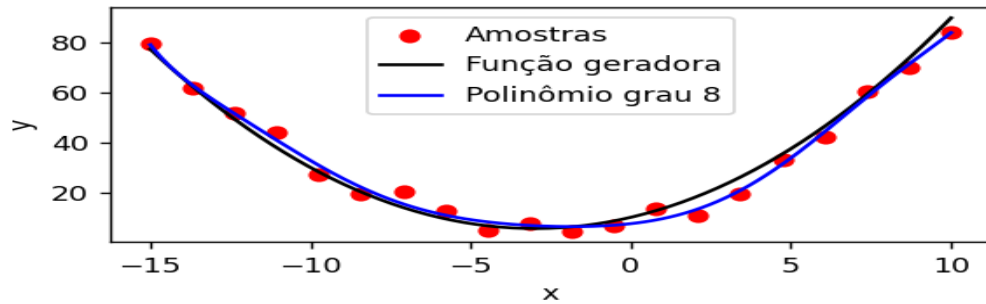


Figura 11 – Grau 8: Overfitting.

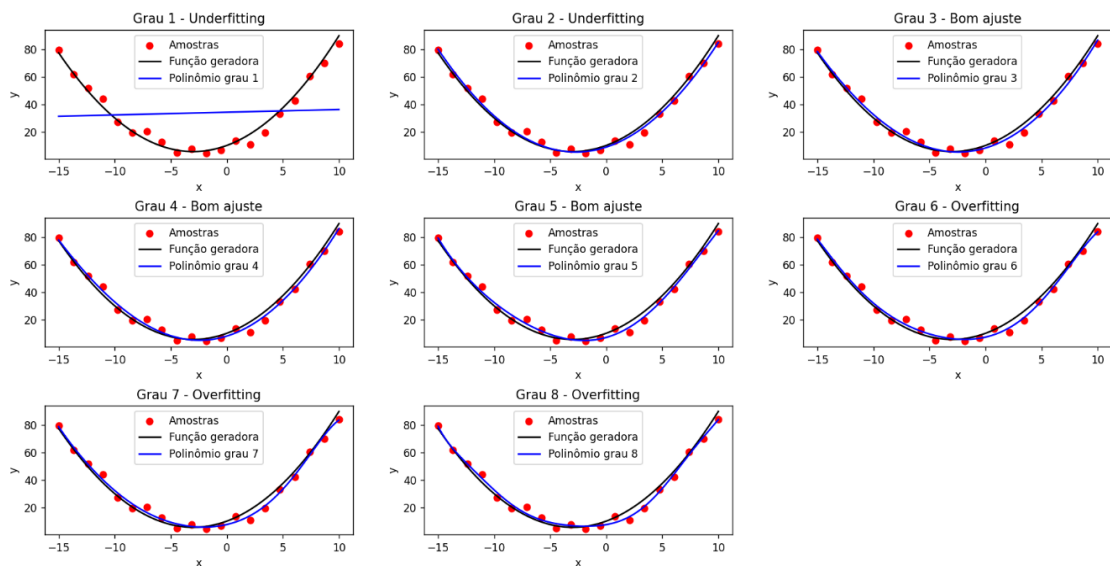


Figura 12 – Todos os casos gerados pelo código implementado.

O código gera 20 amostras da função $fg(x) = 0.5x^2 + 3x + 10$ com ruído gaussiano, ajusta polinômios de grau 1 a 8 usando least squares (`np.polyfit`); Plota cada polinômio, a função real e os pontos amostrados. Marca no título se o polinômio está em underfitting, bom ajuste ou overfitting e exibe observações sobre cada caso

- Underfitting ocorre para grau 1 e 2: polinômio não consegue capturar a curva quadrática.
- Bom ajuste ocorre para grau 3 a 5: segue bem a tendência da função geradora.
- Overfitting ocorre para grau 6 a 8: polinômio tenta passar exatamente por todos os pontos, capturando o ruído.

5.3 CÓDIGO IMPLEMENTADO PARA 100 AMOSTRAS

Na sequência, o processo para 100 amostras:

```

import numpy as np
import matplotlib.pyplot as plt

# Configurações iniciais
np.random.seed(42)
N = 100 # número de amostras
x = np.linspace(-15, 10, N)
ruído = np.random.normal(0, 4, N)
y = 0.5*x**2 + 3*x + 10 + ruído # função geradora com ruído

# Para plotar suavemente
x_plot = np.linspace(-15, 10, 400)
y_real = 0.5*x_plot**2 + 3*x_plot + 10

# Função para montar matriz H
def montar_H(x, grau):
    """Constrói a matriz H para polinômio de dado grau"""
    H = np.vander(x, grau+1, increasing=True) # colunas: x^0, x^1, ..., x^p
    return H

# Ajuste polinomial usando pseudoinversa
graus = range(1, 9)
plt.figure(figsize=(20, 15))
for i, p in enumerate(graus, 1):
    H = montar_H(x, p)
    w = np.linalg.pinv(H) @ y # pseudoinversa de H
    H_plot = montar_H(x_plot, p)
    y_poly = H_plot @ w # avaliação do polinômio nos pontos para plot
# Plotagem
plt.subplot(3, 3, i)
plt.scatter(x, y, color='red', label='Amostras')
plt.plot(x_plot, y_real, color='black', label='Função geradora')
plt.plot(x_plot, y_poly, color='blue', label=f'Polinômio grau {p}')
# Anotação sobre underfitting/overfitting
if p <= 2:
    nota = 'Underfitting'

```

```

elif p >= 7:
    nota = 'Overfitting'
else:
    nota = 'Bom ajuste'
plt.title(f'Grau {p} - {nota}')
plt.xlabel('x')
plt.ylabel('y')
plt.legend()
plt.tight_layout()
plt.show()

# Observações
print("Observações com pseudoinversa:")
print("- Underfitting: grau 1 e 2.")
print("- Bom ajuste: grau 3 a 6.")
print("- Overfitting: grau 7 e 8, embora menos pronunciado devido ao maior número de amostras (100).")

```

5.4 RESULTADOS

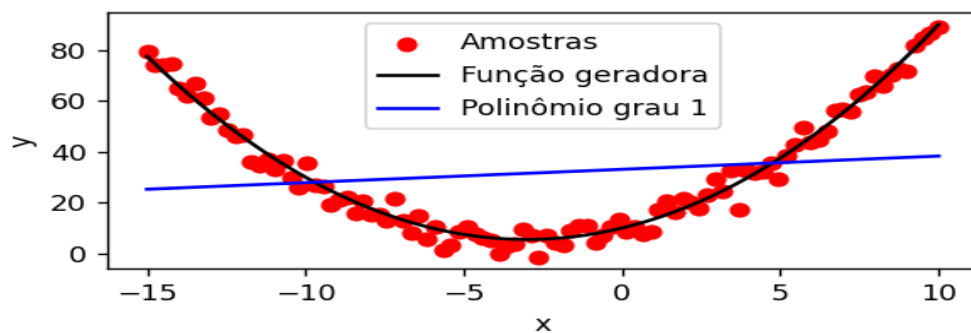


Figura 13 – Grau 1: Underfitting

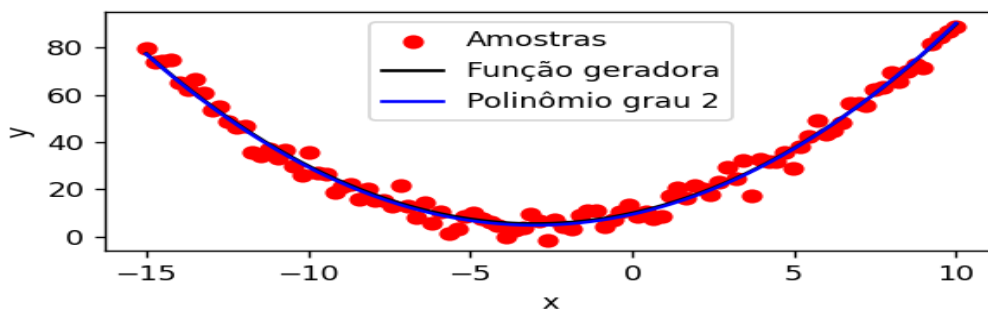


Figura 14 – Grau 2: Underfitting.

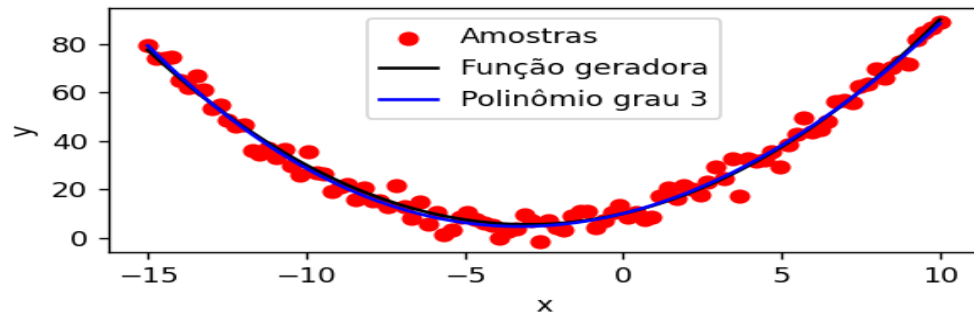


Figura 15 – Grau 3: Bom Ajuste.

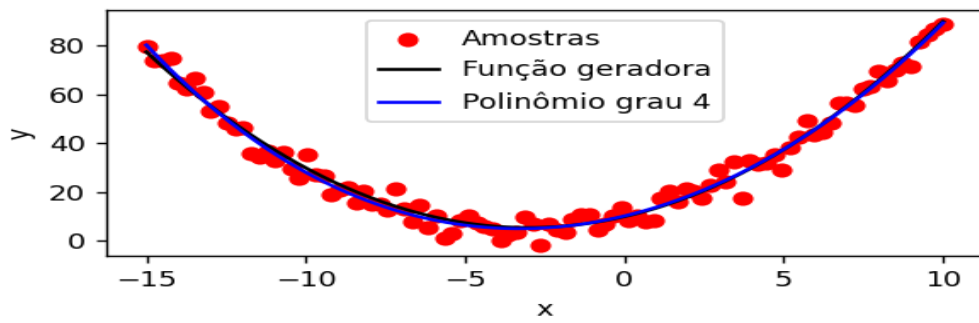


Figura 16 – Grau 4: Bom Ajuste.

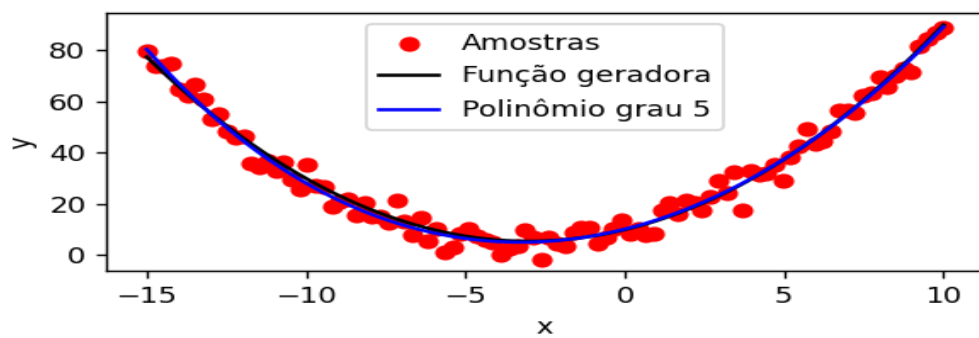


Figura 17 – Grau 5: Bom Ajuste

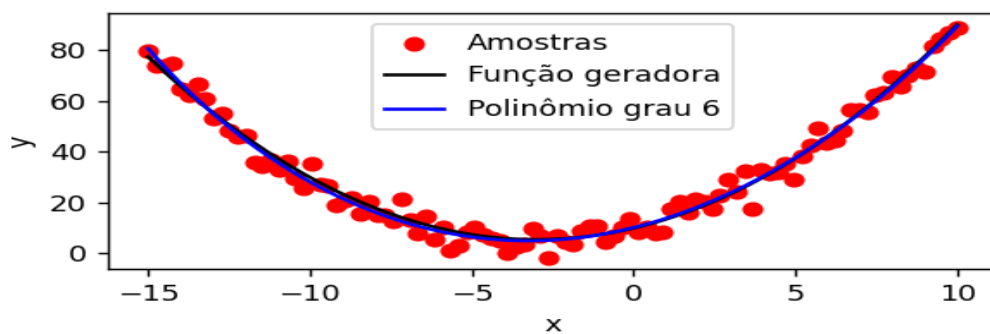


Figura 18 – Grau 6: Bom Ajuste.

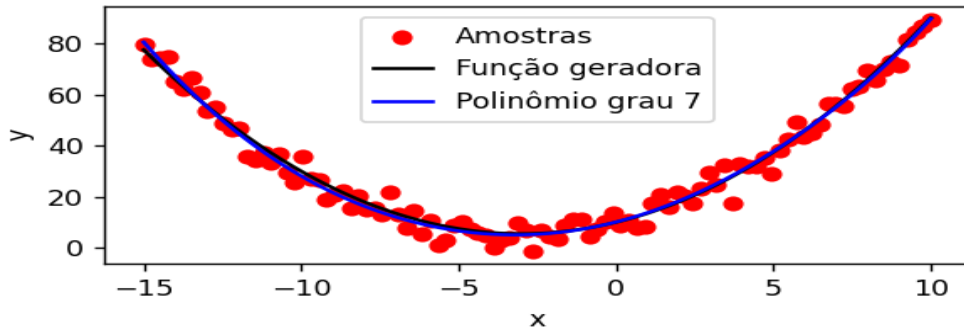


Figura 19 – Grau 7: Overfitting.

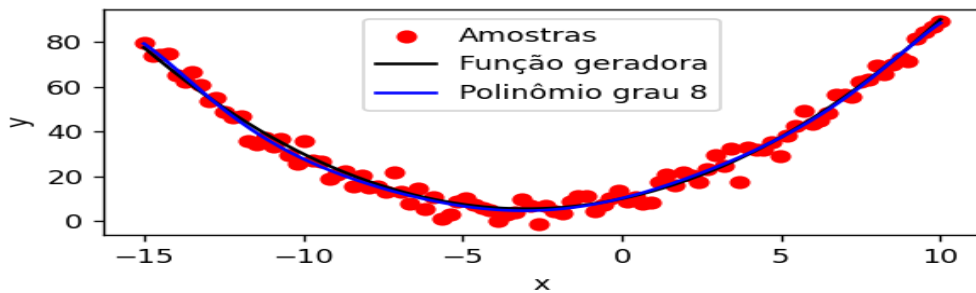


Figura 20 – Grau 8: Overfitting.

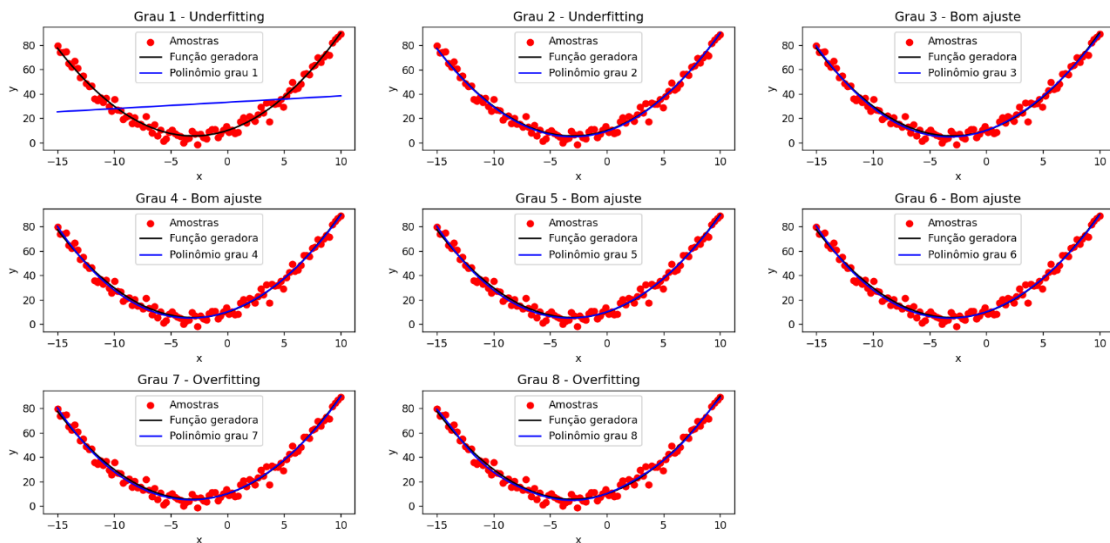


Figura 21 – Todos os casos gerados pelo código implementado.

A matriz H é construída com `np.vander(x, grau+1, increasing=True)`, de forma que cada coluna representa um termo do polinômio, desde o constante até o de grau p . A solução dos coeficientes é obtida pela pseudoinversa, `np.linalg.pinv(H)`, que fornece H^+ e garante a minimização do erro quadrático.

Para avaliar o polinômio ajustado em novos pontos, calcula-se $y_{poly} = H_{plot} @ W$, onde H_{plot} é a matriz de Vandermonde construída para os pontos de visualização.

Observa-se que, ao aumentar o número de amostras de 20 para 100, o overfitting é reduzido: polinômios de grau elevado ainda apresentam oscilações, mas em menor intensidade, mostrando como a quantidade de dados suaviza o ajuste e melhora a generalização.

Abaixo as observações com pseudoinversa:

- Underfitting: grau 1 e 2.
- Bom ajuste: grau 3 a 6.
- Overfitting: grau 7 e 8, embora menos pronunciado devido ao maior número de amostras (100).

Amostras $N = 20$

- Grau 1-2: underfitting. Polinômio linear e quadrático simples não conseguem capturar a curvatura da função geradora $f(x) = 0.5x^2 + 3x + 10$.

- Grau 3-5: bom ajuste. O polinômio segue bem a função quadrática e representa corretamente a tendência.

- Grau 6-8: overfitting. O polinômio oscila para passar por todos os pontos, capturando o ruído gaussiano das amostras.

O gráfico confirma a relação entre o grau do polinômio e o ajuste: graus intermediários são ideais para este número de amostras.

Amostras $N = 100$

- Grau 1-2: underfitting ainda presente, mas a tendência geral é mais visível devido ao maior número de pontos.

- Grau 3-6: bom ajuste. O polinômio consegue representar a função geradora com precisão, sem seguir o ruído.

- Grau 7-8: overfitting menos pronunciado. O aumento do número de amostras diminui a influência do ruído, suavizando as oscilações do polinômio de grau alto.

Esses resultados reforçam que mais amostras permitem polinômios mais complexos sem causar overfitting significativo.

6. CONCLUSÃO

O estudo do problema circular não-linearmente separável mostrou que a aplicação de uma projeção não-linear pode transformar dados complexos em um espaço linearmente separável. A função $z = \sqrt{x^2 + y^2}$ permitiu separar as classes de forma simples e intuitiva, evidenciando a importância de técnicas de transformação de dados em aprendizado de máquina. A principal

contribuição deste trabalho é a demonstração de como problemas aparentemente difíceis podem ser simplificados com uma escolha adequada de características ou projeções, reforçando o papel da engenharia de características na construção de classificadores eficientes.

A atividade 2 permitiu avaliar o impacto da complexidade do modelo no ajuste aos dados e na capacidade de generalização. A partir da Figura 3, observou-se que o modelo azul, altamente flexível, ajusta-se rigidamente a quase todos os pontos de dados, incluindo o ruído. Isso caracteriza overfitting, resultando em erro de treinamento mínimo, mas pior desempenho em dados novos.

O modelo vermelho, linear simples, não consegue capturar a curvatura dos dados, caracterizando underfitting - ele apresenta maior erro de treinamento, mas tende a generalizar melhor que o modelo azul, embora ainda subestime a função geradora. O modelo ideal seria intermediário, seguindo a tendência geral dos dados sem se prender aos detalhes aleatórios, equilibrando ajuste e generalização.

Os resultados reforçam conceitos fundamentais: erro de treinamento baixo não garante boa capacidade preditiva, e modelos excessivamente complexos podem memorizar o ruído, enquanto modelos muito simples podem ignorar padrões importantes.

A análise evidencia que a escolha do modelo deve sempre buscar um compromisso entre ajuste e complexidade, garantindo que o modelo capture corretamente a função geradora e mantenha robustez frente a novos dados (BISHOP, 2006; HASTIE; TIBSHIRANI; FRIEDMAN, 2009; KOHAVI; JOHN, 1997).

Na questão 3, o estudo mostrou que a aproximação polinomial de uma função quadrática com ruído depende de dois fatores fundamentais:

1. Grau do polinômio p :

- Baixo ($p = 1, 2$) → underfitting.
- Médio ($p = 3 - 5$ ou $p = 3 - 6$) → bom ajuste.
- Alto ($p \geq 6$) → overfitting, mais evidente com poucas amostras.

2. Número de amostras N :

- Poucas amostras amplificam o efeito do ruído, aumentando o overfitting.
- Muitas amostras reduzem a influência do ruído, permitindo que polinômios de grau alto ainda representem bem a função geradora.

O uso da matriz H e da pseudoinversa H^+ garante a solução ótima de mínimos quadrados para qualquer conjunto de amostras, tornando a técnica robusta e aplicável a diferentes situações de aproximação polinomial.

7. REFERÊNCIAS

1. BISHOP, C. M. Pattern Recognition and Machine Learning. New York: Springer, 2006.
2. DUDA, R. O.; HART, P. E.; STORK, D. G. Pattern Classification. 2. ed. New York: Wiley, 2001.
3. GOLUB, G. H.; VAN LOAN, C. F. Matrix Computations. 4. ed. Baltimore: Johns Hopkins University Press, 2013.
4. HASTIE, T.; TIBSHIRANI, R.; FRIEDMAN, J. The Elements of Statistical Learning: Data Mining, Inference, and Prediction. 2. ed. New York: Springer, 2009.
5. KOHAVI, R.; JOHN, G. H. Wrappers for Feature Subset Selection. Artificial Intelligence, v. 97, n. 1-2, p. 273–324, 1997.
6. MONTGOMERY, D. C.; PECK, E. A.; VINING, G. G. Introduction to Linear Regression Analysis. 5. ed. Hoboken: Wiley, 2012.
7. NOCEDAL, J.; WRIGHT, S. J. Numerical Optimization. 2. ed. New York: Springer, 2006.
8. SCHÖLKOPF, B.; SMOLA, A. J. Learning with Kernels: Support Vector Machines, Regularization, Optimization, and Beyond. Cambridge, MA: MIT Press, 2002.